

## 第二相对 Al-Zn-Sn-Ga-Mg 合金腐蚀行为的影响

贺俊光, 文九巴, 周旭东

(河南科技大学 材料科学与工程学院, 洛阳 471003)

**摘要:** 通过分析 Al-7Zn-0.1Sn-0.015Ga-2Mg 阳极合金中的第二相及其腐蚀特性, 研究第二相对该合金腐蚀行为的影响。结果表明: Al-7Zn-0.1Sn-0.015Ga-2Mg 阳极合金中的第二相主要为球状和棒状的 MgZn<sub>2</sub> 相。MgZn<sub>2</sub> 相的腐蚀电位较  $\alpha$ (Al) 基体的负, 腐蚀电流密度较高且极化电阻较小。MgZn<sub>2</sub> 相对于  $\alpha$ (Al) 基体为阳极相, 其在 3.5%NaCl 溶液中与  $\alpha$ (Al) 基体组成腐蚀微电池, 引起 MgZn<sub>2</sub> 相自身优先溶解, 进而引发合金全面溶解。

**关键词:** 铝合金; 牺牲阳极; 第二相; 腐蚀行为

**中图分类号:** TG174.41      **文献标志码:** A

## Influence of second phase on corrosion behavior of Al-Zn-Sn-Ga-Mg alloy

HE Jun-guang, WEN Jiu-ba, ZHOU Xu-dong

(School of Materials Science and Engineering, Henan University of Science and Technology, Luoyang 471003, China)

**Abstract:** Influence of the second phase on the corrosion behavior of Al-7Zn-0.1Sn-0.015Ga-2Mg alloy was investigated through the analysis of the second phase and its corrosion characteristics in Al-7Zn-0.1Sn-0.015Ga-2Mg alloy. The results show that the second phases in Al-7Zn-0.1Sn-0.015Ga-2Mg alloy mainly are MgZn<sub>2</sub> particles with spherical and rod-like. MgZn<sub>2</sub> has a more negative corrosion potential, a higher corrosion current density and a smaller polarization resistance than  $\alpha$ (Al) matrix. The MgZn<sub>2</sub> particles are the anodic phase relative to  $\alpha$ (Al) matrix, they form many micro-corrosion cells with  $\alpha$ (Al) matrix in 3.5% NaCl solution, which lead to the anodic self-dissolution of MgZn<sub>2</sub> particles preferential, and resulting in the whole dissolution process of the aluminum sacrificial anode.

**Key words:** aluminum alloy; sacrificial anode; second phase; corrosion behavior

铝合金的微观组织对其宏观电化学性能有较大的影响。REBOUL 等<sup>[1]</sup>指出合金中的金属间化合物对铝合金的活化有重要影响。SALINA 等<sup>[2]</sup>发现偏析相是腐蚀的引发部位, 自腐蚀引起电流效率损失严重。齐公台等<sup>[3-4]</sup>认为铝阳极溶解的均匀性与第二相数量有关, 第二相数量多, 阳极溶解就均匀, 但第二相的增加也造成电流效率降低。丁振斌等<sup>[5]</sup>认为具有大小均匀、形态规则、数量适中第二相粒子的铝阳极有较好的综合电化学性能。刘斌等<sup>[6]</sup>通过模拟 Al<sub>2</sub>Zn 研究了其在 NaCl 溶液中的电化学行为, 认为阳极型偏析相

Al<sub>2</sub>Zn 优先溶解, 一方面活化铝合金阳极表面, 另一方面引起自腐蚀。LI 等<sup>[7]</sup>则通过模拟 Al<sub>2</sub>Cu、Al<sub>2</sub>CuLi 等研究了析出相类型在铝合金局部腐蚀中的作用机理。BIRBILIS 等<sup>[8]</sup>通过模拟 Al<sub>7</sub>Cu<sub>2</sub>Fe 研究了铝合金中该偏析相的电化学行为, 认为阴极型偏析相 Al<sub>7</sub>Cu<sub>2</sub>Fe 引发了偏析相与基体界面处的点蚀。本课题组在三元 Al-Zn-Sn 合金的基础上, 开发出电化学性能较好的 Al-Zn-Sn-Ga 系列牺牲阳极合金<sup>[9-11]</sup>, 但是, 该系合金中第二相对其腐蚀行为的影响尚不清楚。

为此, 本文作者以第二相较多的 Al-Zn-Sn-Ga-Mg

阳极合金为研究对象, 通过分析该合金的第二相及其存在形态, 并根据第二相和  $\alpha(\text{Al})$  基体的成分熔炼它们的模拟合金, 研究第二相的腐蚀特性及其对合金腐蚀行为的影响, 以探讨该合金的腐蚀机理。

## 1 实验

### 1.1 合金制备

将高纯 Al、Zn 和 Mg 锭 (>99.9%) 及分析纯 Sn 和 Ga 按质量分数 (%) Al-7Zn-0.1Sn-0.015G-2Mg 称取。在 ZGJL0.01-4C-4 真空感应炉中熔炼合金, 于铸铁模具中浇注成  $d 20 \text{ mm} \times 140 \text{ mm}$  的圆棒, 自然冷却。

### 1.2 微观组织分析

由铸态 Al-7Zn-0.1Sn-0.015G-2Mg 合金制取试样, 用 JSM-5610LV 扫描电镜 (SEM) 观察合金组织并对第二相成分进行分析。对合金进行 (470 °C, 4 h 固溶)+(200 °C, 24 h 时效) 处理, 并将处理后的试样用 D8ADVANCE 型 X 射线衍射仪进行 XRD 分析和用 JEM-2100 型高分辨透射电镜 (HRTEM) 观察, 分析该合金中的微观组织和第二相。其中 X 射线衍射仪使用的加速电压为 40 kV, 电流为 40 mA, 步长为 0.02°, 扫描速度为 0.4 s/步; 高分辨观察试样电解双喷时的电解液为 25% 的硝酸甲醇溶液, 电解电压为 20~30 V, 电流为 40~55 mA, 温度约为 -30 °C。

### 1.3 模拟第二相制备

根据  $\alpha(\text{Al})$  基体 (Ga 按 0.015% 均匀分布于铝基体) 和第二相的化学成分, 配制且熔炼它们的模拟合金。将配制好的原料放入纽扣式真空熔炼炉中, 反复加热熔化、冷却凝固, 重复 3 次得到  $\alpha(\text{Al})$  基体和第二相的模拟合金。对模拟合金进行 (470 °C, 24 h) 的固溶处理, 以确保合金中的元素成分均匀分布。

### 1.4 极化曲线测试

采用三电极体系在 CHI660C 型电化学工作站测试模拟合金在 3.5%NaCl 溶液中的极化曲线。辅助阴极和参比电极分别为石墨电极和饱和甘汞电极 (SCE)。其扫描范围为 -0.7~ -1.3 V (vs SCE), 扫描速率为 1 mV/s。

### 1.5 合金腐蚀形貌观察

用 HRTEM 观察腐蚀前合金中第二相的形貌。然后将用于透射观察的时效 Al-7Zn-0.1Sn-0.015Ga-2Mg

试样在 3.5%NaCl 溶液中浸泡 5 和 30 min, 取出后快速放入 80 °C 的  $\text{CrO}_3 + \text{H}_3\text{PO}_4$  溶液中保温 5 min 以去除腐蚀产物, 用酒精清洗 3 次, 吹干, 在透射下观察合金腐蚀后的形貌。将铸态合金试样在 3.5%NaCl 溶液中分别浸泡 30 min 和 6 h, 用扫描电镜观察铸态合金的腐蚀形貌。

## 2 结果与分析

### 2.1 组织分析

图 1 所示为 Al-7Zn-0.1Sn-0.015Ga-2Mg (质量分数, %) 合金的背散射 SEM 像及第二相的 EDX 谱。从第二相的点能谱结果可以看出, 该合金的第二相主要含有 Al、Zn 和 Mg 元素, 其中 Zn 与 Mg 的摩尔比约为 2, 如图 1(b) 所示。在铝合金中  $w(\text{Mg}) < 1.0\%$  时, Mg 完全固溶于基体,  $w(\text{Mg}) \geq 1.0\%$ , 晶界将出现含镁化合物。 $n(\text{Zn})/n(\text{Mg}) > 2$  时, 首先形成金属间化合物  $\eta$  相  $\text{MgZn}_2$ , 进一步提高 Mg 含量, 会形成  $T$  相  $\text{Mg}_3\text{Zn}_3\text{Al}_2$  和  $\beta$  相  $\text{Mg}_2\text{Al}_3$  及  $\text{Mg}_3\text{ZnAl}_2$  等金属间化合物。

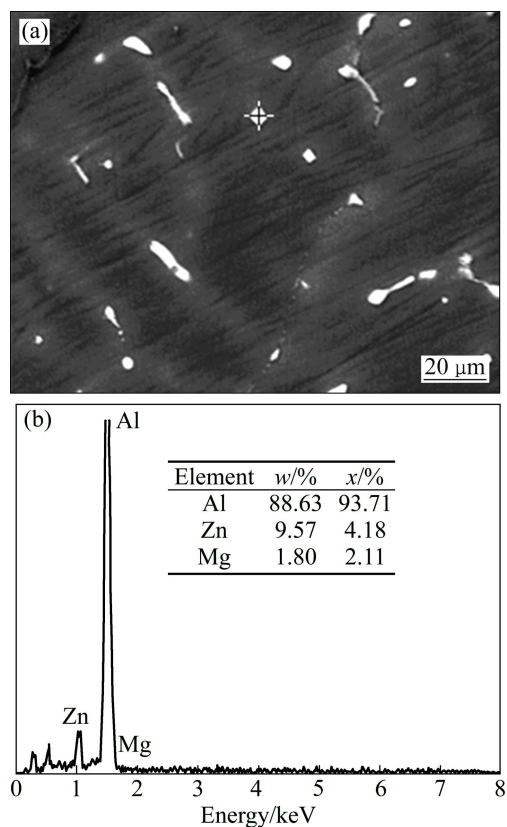


图 1 Al-7Zn-0.1Sn-0.015Ga-2Mg 合金的背散射 SEM 像及 EDX 能谱分析

Fig. 1 SEM image (a) and EDX pattern (b) of Al-7Zn-0.1Sn-0.015Ga-2Mg alloy

物<sup>[12-13]</sup>。Al-7Zn-0.1Sn-0.015Ga-2Mg 合金中  $n(\text{Zn})/n(\text{Mg}) > 2$ ，且能谱分析也符合  $\text{MgZn}_2$  相，因此初步确定该合金中的第二相主要为  $\text{MgZn}_2$  相。

为进一步确定 Al-7Zn-0.1Sn-0.015Ga-2Mg 阳极合金中的第二相，对该合金进行(470 °C, 4 h 固溶)+(200 °C, 24 h 时效)处理，然后对其进行 XRD 分析、透射电镜组织观察和选区电子衍射分析。图 2 所示为该合金经热处理后的 XRD 谱。由图 2 可知，该合金时效后的衍射峰分别与 Al 及  $\text{MgZn}_2$  的 PDF 衍射卡片的峰值相对应，表明该合金中除 Al 外还含有  $\text{MgZn}_2$  这种第二相。图 3 所示为 Al-7Zn-0.1Sn-0.015Ga-2Mg 阳极合金经热处理后的典型 TEM 像及第二相的选区电子衍射图。从图 3(a)可以看出，灰色的  $\alpha(\text{Al})$  基体上弥散分布着灰黑色的球状或棒状第二相。经对第二相进行标定，球状第二相衍射谱和  $\text{MgZn}_2$  的(0002)、 $(\bar{2}112)$  及  $(\bar{2}110)$  晶面间距有很好的对应关系，属于  $[01\bar{1}0]$  晶带轴(见图 3(b))；棒状第二相和  $\text{MgZn}_2$  的  $(0\bar{1}13)$ 、 $(\bar{1}103)$  及  $(10\bar{1}0)$  晶面间距有很好的对应关系，属于  $[1\bar{2}1\bar{1}]$  晶带(见图 3(c))。因此，确定 Al-7Zn-0.1Sn-0.015Ga-2Mg 合金球状和棒状第二相均为  $\text{MgZn}_2$  相。ASHOK 等<sup>[14]</sup>指出 Al-Zn 阳极合金中的第二相为 AlZn 和  $\text{Al}_2\text{Zn}$ 。但经过以上分析，Al-7Zn-0.1Sn-0.015Ga-2Mg 合金中的第二相主要为  $\text{MgZn}_2$  相。这与 CLARK<sup>[15]</sup>的研究结果相一致，他们通过时效处理、透射电子形貌和选区电子衍射分析发现  $\text{MgZn}_2$  存在两种不同的过渡相即棒状和圆盘状。

## 2.2 第二相的极化性能

将  $\text{MgZn}_2$  和  $\alpha(\text{Al})$  基体这两种模拟合金浸泡在

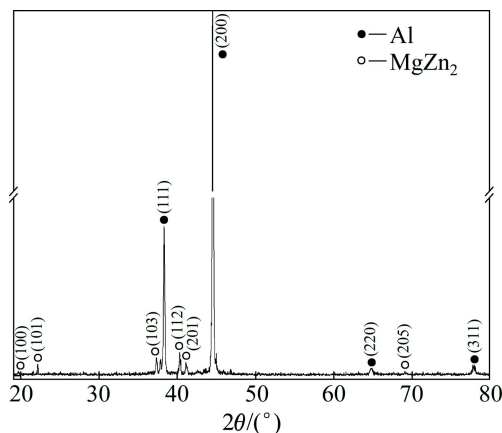


图 2 热处理后 Al-7Zn-0.1Sn-0.015Ga-2Mg 合金的 XRD 谱  
Fig. 2 XRD pattern of Al-7Zn-0.1Sn-0.015Ga-2Mg alloy after heat treatment

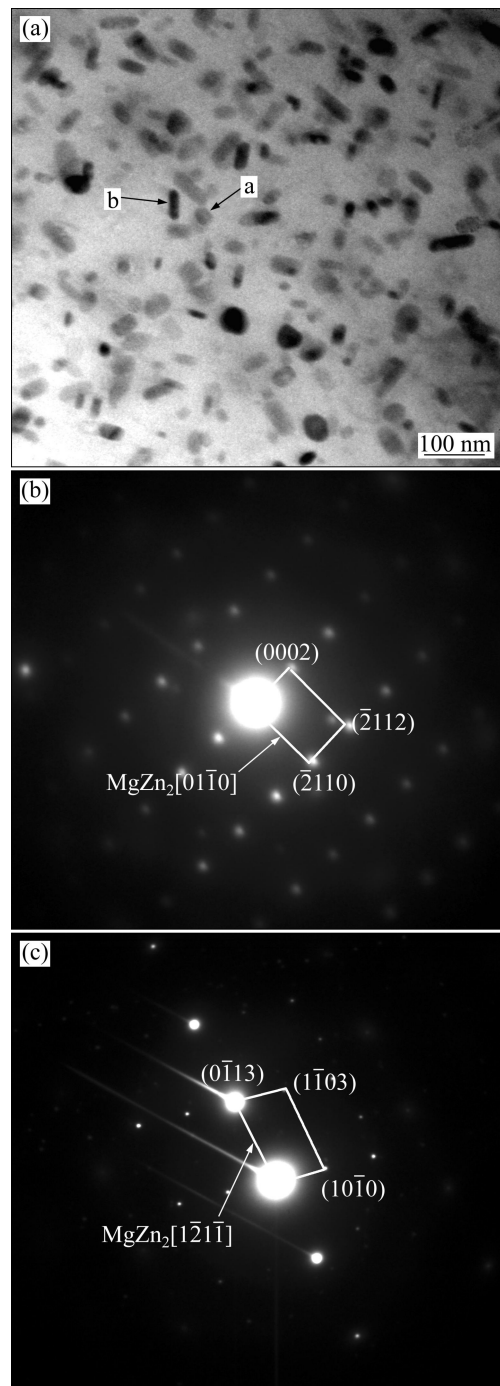


图 3 热处理后 Al-7Zn-0.1Sn-0.015Ga-2Mg 合金的 TEM 明场像及其球状和棒状第二相的选区电子衍射图

Fig. 3 TEM bright field image of Al-7Zn-0.1Sn-0.015Ga-2Mg alloy after heat treatment (a) and SAED patterns of ellipsoid-like (b) and rod-like (c) particles in Fig. 3(a)

3.5%NaCl 溶液中 4 000 s 后，分别进行极化曲线测试，其极化曲线如图 4 所示。由极化曲线根据外推法<sup>[16-17]</sup>得出的腐蚀参数如自腐蚀电位( $E_{\text{corr}}$ )、自腐蚀电流密度( $j_{\text{corr}}$ )和极化电阻( $R_p$ )如表 1 所列。由图 4 及表 1 可以

看出, 第二相  $MgZn_2$  的自腐蚀电位( $\varphi_{corr}$ )为  $-1.094\text{ V}$ (vs SCE)比  $\alpha(\text{Al})$  基体的自腐蚀电位  $-1.014\text{ V}$ (vs SCE)负, 而第二相  $MgZn_2$  的腐蚀电流密度( $j_{corr}$ )比  $\alpha(\text{Al})$  基体的大了近一个数量级, 其相应的腐蚀电阻( $R_p$ )为  $429.2\ \Omega/\text{cm}^2$ , 而  $\alpha(\text{Al})$  基体的为  $3\ 571.6\ \Omega/\text{cm}^2$  小了近一个数量级。表明  $MgZn_2$  相在  $3.5\%\text{NaCl}$  溶液中比  $\alpha(\text{Al})$  基体更容易腐蚀, 为阳极相。张琦等<sup>[18]</sup>和李劲风等<sup>[19]</sup>通过测试模拟  $MgZn_2$  和  $\alpha(\text{Al})$  中的开路电位也证明  $MgZn_2$  的电位较基体电位负, 在腐蚀过程中为阳极相优先溶解。

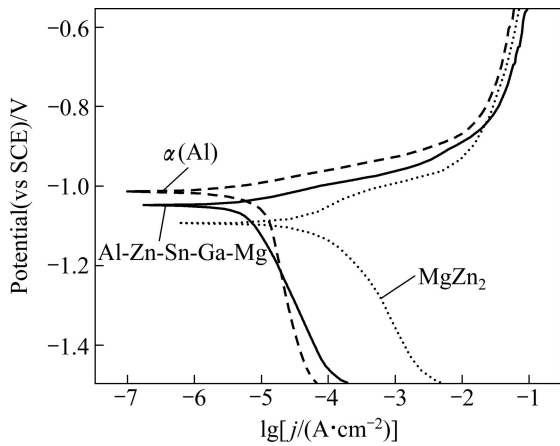


图 4 模拟合金在  $3.5\%\text{NaCl}$  溶液中的动电位极化曲线  
 Fig. 4 Potentiodynamic scanning curves of simulated alloys in  $3.5\%\ \text{NaCl}$  solution

表 1 由图 4 极化曲线获得的合金的腐蚀参数

Table 1 Corrosion parameters of alloys obtained from Fig. 4

Alloy	$\varphi_{corr}$ (vs SCE)/V	$j_{corr}$ /( $\text{A}\cdot\text{cm}^{-2}$ )	$R_p$ /( $\Omega\cdot\text{cm}^2$ )
Al-Zn-Sn-Ga-Mg	-1.049	$6.603 \times 10^{-6}$	2 544.8
$\alpha(\text{Al})$	-1.014	$5.301 \times 10^{-6}$	3 571.6
$MgZn_2$	-1.094	$3.627 \times 10^{-5}$	429.2

2.3 腐蚀形貌分析

图 5 所示为经热处理的  $\text{Al-7Zn-0.1Sn-0.015Ga-2Mg}$  合金腐蚀前其球状和棒状  $MgZn_2$  相的高分辨形貌。图 5(a)中的  $MgZn_2$  的形貌与基体的差异较小, 其晶格间距与  $\alpha(\text{Al})$  的基本相等。通过直接测量  $\alpha(\text{Al})$  晶格条纹的晶面间距,  $d_1=d_3=2.476\ \text{\AA}$ ,  $d_2=2.135\ \text{\AA}$ , 与  $\text{Al}$  的  $(1\bar{1}1)$ 、 $(1\bar{1}\bar{1})$  和  $(200)$  的晶面间距相符, 属于  $[0\ 1\ 1]$  晶带轴。对第二相的晶格像进行测量, 与  $MgZn_2$   $[0\ 0\ 0\ 1]$  晶带轴的  $(1\bar{1}00)$  和  $(02\bar{2}0)$  晶面相符, 且  $(11\bar{1})_{\text{Al}} // (1\bar{1}00)_{\text{MgZn}_2}$ ,  $(1\bar{1}\bar{1})_{\text{Al}} // (02\bar{2}0)_{\text{MgZn}_2}$ 。通过直接测量, 图 5(b)中  $\alpha(\text{Al})$  晶格条纹的晶面间距  $d=2.476$

$\text{\AA}$ , 与  $\text{Al}$  的  $(1\ 1\ 1)$  的晶面间距相符。棒状第二相也与  $MgZn_2$  的  $(1\bar{1}00)$  和  $(02\bar{2}0)$  晶面相符, 与图 5(a)中的球状  $MgZn_2$  相晶面及晶向指数相同, 只是沿  $(1\bar{1}00)$  晶面的长大速度明显高于沿  $(02\bar{2}0)$  晶面的, 形成长棒状形貌。

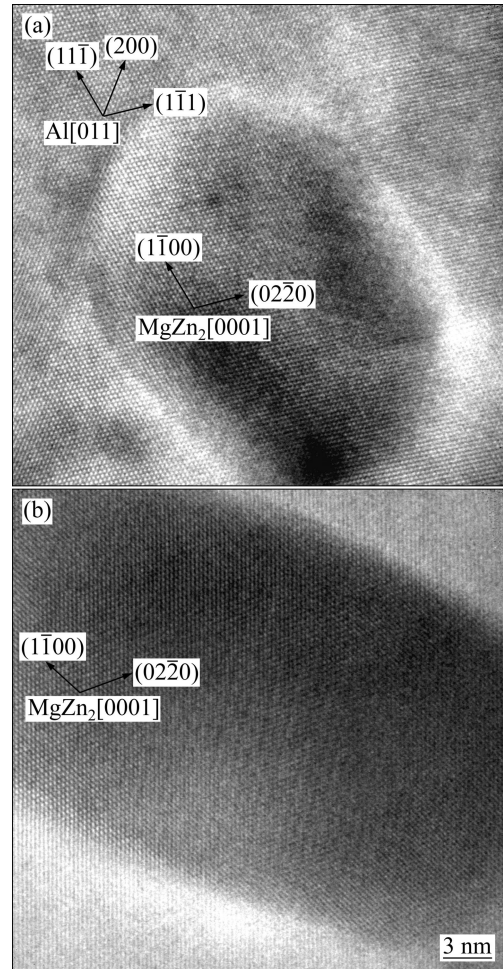


图 5 时效  $\text{Al-7Zn-0.1Sn-0.015Ga-2Mg}$  合金球状和棒状  $MgZn_2$  的 HRTEM 像  
 Fig. 5 HRTEM images of granular (a) and rod-like (b)  $MgZn_2$  in  $\text{Al-7Zn-0.1Sn-0.015Ga-2Mg}$  alloy after heat treatment

图 6 所示为经热处理的  $\text{Al-7Zn-0.1Sn-0.015Ga-2Mg}$  阳极合金在  $3.5\%\text{NaCl}$  溶液中浸泡 5 和 30 min 的 TEM 像, 目的主要是为了观察  $MgZn_2$  相在腐蚀前后的变化。如图 6(a)所示, 当该时效合金在  $3.5\%\text{NaCl}$  溶液中浸泡 5 min 时部分  $MgZn_2$  相的轮廓已模糊。这可能是由于  $MgZn_2$  相的电位比  $\alpha(\text{Al})$  基体的电位低, 在  $3.5\%\text{NaCl}$  溶液中  $MgZn_2$  相与  $\alpha(\text{Al})$  基体构成微腐蚀电池,  $MgZn_2$  相作为阳极优先溶解导致  $MgZn_2$  的轮廓变模糊。如图 6(b)所示, 浸泡 30 min 时, 时效合金中部分第二相(球状或棒状  $MgZn_2$ )已腐蚀脱落, 第二相

脱落的位置呈白色。这可能是  $MgZn_2$  相在 3.5%NaCl 溶液中腐蚀形成的。

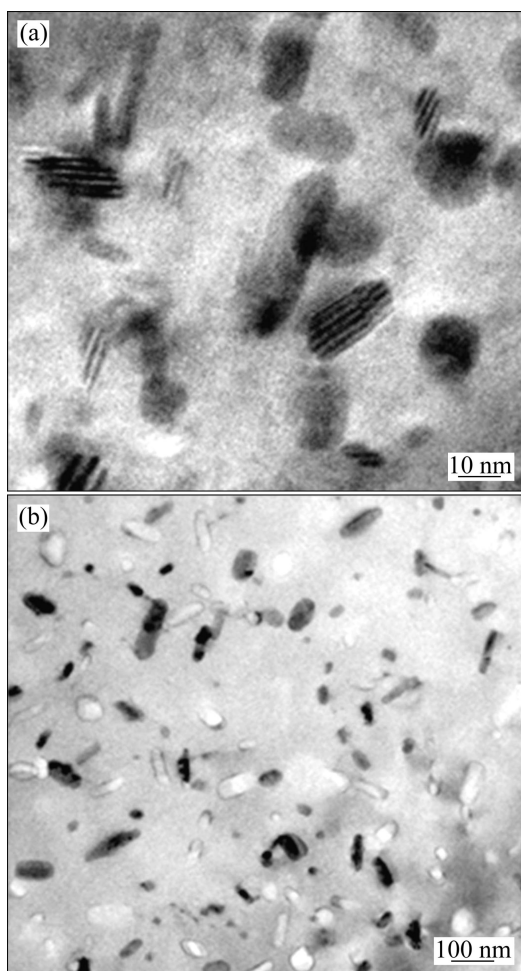


图 6 热处理后 Al-7Zn-0.1Sn-0.015Ga-2Mg 合金在 3.5%NaCl 中浸蚀 5 和 30 min 的 TEM 像

Fig. 6 TEM images of Al-7Zn-0.1Sn-0.015Ga-2Mg alloy after heat treatment and immersed in 3.5% NaCl solution for 5 min (a) and 30 min (b)

图 7 所示为铸态 Al-7Zn-0.1Sn-0.015Ga-2Mg 合金在 3.5%NaCl 溶液中浸泡 30 min 和 6 h 的 SEM 像。腐蚀 30 min 时, 试样表面有大量小且浅的点蚀坑分布于合金晶界上, 有的点蚀坑中的第二相已经脱落(见图 7(a))。腐蚀 6 h 时, 试样表面的腐蚀坑已迅速横向扩展, 形成水平尺寸远大于深度的宽浅型腐蚀区域(见图 7(b)), 这说明阳极性  $MgZn_2$  相在侵蚀性介质中优先溶解, 形成点蚀。LI 等<sup>[7]</sup>和马景灵<sup>[20]</sup>也通过用热模拟机在 410 °C 加压将  $MgZn_2$  颗粒压入两块  $\alpha(Al)$  中制成模拟合金, 并通过腐蚀试验证明  $MgZn_2$  颗粒为阳极相, 在腐蚀时优先腐蚀脱落。 $MgZn_2$  相优先溶解后露出  $\alpha(Al)$  基体, 引起  $\alpha(Al)$  基体的溶解。另一方面,  $MgZn_2$

的溶解生成  $Mg^{2+}$ 、 $Zn^{2+}$ , 由于  $Zn^{2+}$  的还原电位比  $Al^{3+}$  的还原电位正,  $Zn^{2+}$  通过反应( $Zn^{2+} + Al \rightarrow Al^{3+} + Zn$ )被还原并在蚀坑的附近沉积, 破坏氧化膜使蚀坑快速横向扩展<sup>[21]</sup>。另外, 由于溶解过程中蚀孔周围固溶于合金中的 Ga 与 Al 形成液态的 Ga-Al 汞齐, 这些液态合金的流动性较好, 对氧化膜与基体起到机械分离作用, 使新鲜表面不断暴露而使合金发生横向溶解<sup>[22]</sup>。同时也使腐蚀产物不断脱落, 维持点蚀坑长时间的横向活化扩展, 横向腐蚀扩展速度很快, 从而最终导致合金全面溶解<sup>[9]</sup>。

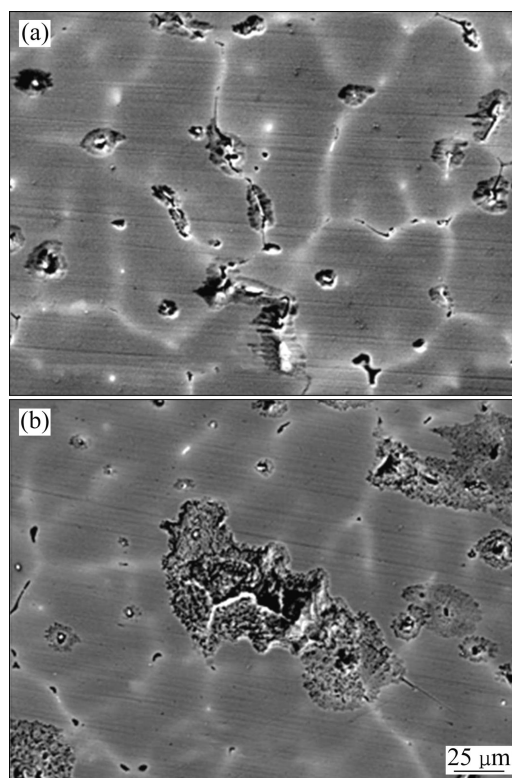


图 7 铸态 Al-7Zn-0.1Sn-0.015Ga-2Mg 合金在 3.5%NaCl 溶液中浸蚀 30 min 和 6 h 的 SEM 像

Fig. 7 SEM images of as-cast Al-7Zn-0.1Sn-0.015Ga-2Mg alloy immersed in 3.5% NaCl solution for 30 min (a) and 6 h (b)

### 3 结论

- 1) Al-7Zn-0.1Sn-0.015Ga-2Mg 阳极合金中的第二相主要为球状和棒状的  $MgZn_2$  相。
- 2)  $MgZn_2$  相的腐蚀电位较  $\alpha(Al)$  基体负, 腐蚀电流密度较高且极化电阻较小。
- 3)  $MgZn_2$  相对于  $\alpha(Al)$  基体为阳极相, 其在 3.5%NaCl 溶液中与  $\alpha(Al)$  基体组成腐蚀微电池, 引起  $MgZn_2$  相自身优先溶解, 进而引发合金全面溶解。

## REFERENCES

- [1] REBOUL M C, GIMENEZ P H, RAMEAU J J. Activation mechanism for sacrificial Al-Zn-Hg anodes[J]. *Material Performance*, 1980, 19(5): 3539–3546.
- [2] SALINAS D R, GARCIA S G, BESSONE J B. Influence of alloying elements and microstructure on aluminum sacrificial anode performance: Case of Al-Zn[J]. *Journal of Applied Electrochemistry*, 1999, 29(9): 1063–1071.
- [3] 齐公台, 郭稚弧, 魏伯康, 林汉同. 固溶处理对 Al-Zn-In-Sn-Mg 阳极组织与电化学性能的影响[J]. *金属热处理学报*, 2000, 21(4): 68–72.
- QI Gong-tai, GUO Zhi-hu, WEI Bo-kang, LIN Han-tong. Effect of water-quenching on microstructure and electrochemistry performance of Al-Zn-In-Sn-Mg anode[J]. *Transactions of Metal Heat Treatment*, 2000, 21(4): 68–72.
- [4] 齐公台, 郭稚弧, 张华民, 邱于兵, 张兴中. 铝合金牺牲阳极金相组织与电化学性能关系研究[J]. *腐蚀科学与防护技术*, 1997, 9(7): 231–235.
- QI Gong-tai, GUO Zhi-hu, ZHANG Hua-min, QIU YU-bing, ZHANG Xing-zhong. Microstructure and electrochemical performance of aluminum alloys for sacrificial anode[J]. *Corrosion Science and Protection Technology*, 1997, 9(7): 231–235.
- [5] 丁振斌, 孔小东, 朱梅五. 铝合金阳极微观组织对其性能的影响[J]. *材料保护*, 2002, 35(7): 8–10.
- DING Zhen-bin, KONG Xiao-dong, ZHU Mei-wu. Influence of microstructure on property of aluminum alloy sacrificial anode[J]. *Materials Protection*, 2002, 35(7): 8–10.
- [6] 刘斌, 齐公台, 冉伟, 赵婷婷. 模拟偏析相  $Al_2Zn$  在 3% NaCl 溶液中的电化学行为[J]. *中国腐蚀与防护学报*, 2007, 27(2): 92–96.
- LIU Bin, QI Gong-tai, RAN Wei, ZHAO Ting-ting. Electrochemical behavior of the simulated  $Al_2Zn$  segregation in 3% NaCl solution[J]. *Journal of Chinese Society for Corrosion and Protection*, 2007, 27(2): 92–96.
- [7] LI J F, ZHENG Z Q, LI S C, CHEN W J, REN W D, ZHAO X S. Simulation study on function mechanism of some precipitates in localized corrosion of Al alloys[J]. *Corrosion Science*, 2007, 49(6): 2436–2449.
- [8] BIRBILIS N, CAVANAUGH M K, BUCHHEIT R G. Electrochemical behavior and localized corrosion associated with  $Al_7Cu_2Fe$  particles in aluminum alloy 7075-T651[J]. *Corrosion Science*, 2006, 48(12): 4202–4215.
- [9] HE Jun-guang, WEN Jiu-ba, LI Xu-dong. Influence of Ga and Bi on electrochemical performance of Al-Zn-Sn sacrificial anodes[J]. *Transactions of Nonferrous Metals Society of China*, 2011, 21(7): 1580–1586.
- [10] 贺俊光, 文九巴, 李旭东, 郝庆国. Al-Zn-Sn-Ga 阳极腐蚀过程的电化学阻抗谱分析[J]. *中国有色金属学报*, 2012, 35(1): 187–193.
- HE Jun-guang, WEN Jiu-ba, LI Xu-dong. Electrochemical impedance spectroscopy of Al-Zn-Sn-Ga anode during corrosion process[J]. *The Chinese Journal of Nonferrous Metals*, 2012, 35(1): 187–193.
- [11] 贺俊光, 文九巴, 李旭东, 郝庆国. 热处理对 Al-Zn-Sn-Ga-Mg 合金组织和电化学性能的影响[J]. *材料热处理学报*, 2011, 32(7): 110–115.
- HE Jun-guang, WEN Jiu-ba, LI Xu-dong, HAO Qing-guo. Effect of heat treatment on microstructure and electrochemical properties of Al-Zn-Sn-Ga-Mg alloy sacrificial anode[J]. *Transactions of Materials and Heat Treatment*, 2011, 32(7): 110–115.
- [12] 董超芳, 安英辉, 李晓刚, 生海, 肖葵. 7A04 铝合金在海洋大气环境中初期腐蚀的电化学特性[J]. *中国有色金属学报*, 2009, 19(2): 346–352.
- DONG Chao-fang, AN Ying-hui, LI Xiao-gang, SHENG Hai, XIAO Kui. Electrochemical performance of initial corrosion of 7A04 aluminium alloy in marine atmosphere[J]. *The Chinese Journal of Nonferrous Metals*, 2009, 19(2): 346–352.
- [13] 林钢. 铝合金应用手册[M]. 北京: 机械工业出版社, 2006: 38–43.
- LIN Gang. Aluminum alloy application manual[M]. Beijing: China Machine Press, 2006: 38–43.
- [14] ASHOK S R, VENKATARAMANI A, PARTHIBAN G T, SRINIVASAN S, PALANISWAMY N, MANI A, RAGHAVAN M. Performance of aluminium anodes under heat treatment[J]. *Corrosion on Prevention & Control*, 2002, 49(2): 60–63.
- [15] CLARK J B. Transmission electron microscopy study of age hardening in a Mg-5 wt.% Zn alloy[J]. *Acta Metallurgica*, 1965, 13(12): 1281–1289.
- [16] WANG Jie, YANG Yuan-sheng, TONG Wen-hui. Effect of purification treatment on corrosion resistance of Mg-Gd-Y-Zr alloy[J]. *Transactions of Nonferrous Metals Society of China*, 2011, 21(4): 949–954.
- [17] 李翔, 严彪, 董鹏, 王宇鑫, 杜春风. Fe 基非晶合金的晶化及其在 NaCl 溶液中的电化学腐蚀行为[J]. *中国有色金属学报*, 2010, 20(1): 156–162.
- LI Xiang, YAN Biao, DONG Peng, WANG Yu-xin, DU Chun-feng. Crystallization and electrochemical corrosion behaviors of amorphous Fe-based alloys in NaCl solution[J]. *The Chinese Journal of Nonferrous Metals*, 2010, 20(1): 156–162.
- [18] 张琦, 李荻, 丁学谊, 张玉梅. LC4 铝合金晶间腐蚀电化学机理[J]. *材料保护*, 1996, 29(8): 6–8.
- ZHANG Qi, LI Di, DING Xue-yi, ZHANG Yu-mei.

- Electrochemical mechanism of intergranular corrosion of LC4 aluminum alloy[J]. *Materials Protection*, 1996, 29(8): 6-8.
- [19] 李劲风, 郑子樵, 任文达. 第二相在铝合金局部腐蚀中的作用机制[J]. *材料导报*, 2005, 19(2): 81-83.
- LI Jin-feng, ZHENG Zi-qiao, REN Wen-da. Function mechanism of secondary phase on localized corrosion of Al alloy[J]. *Materials Review*, 2005, 19(2): 81-83.
- [20] 马景灵. 微合金化铝基阳极材料的组织与性能[D]. 兰州: 兰州理工大学, 2009: 65-66.
- MA Jing-ling. Microstructure and properties of microalloyed Al anode materials[D]. Lanzhou: Lanzhou University of Technology, 2009: 65-66.
- [21] VENUGOPAL A, RAJA V S. A C impedance study on the activation mechanism of aluminium by indium and zinc in 3.5% NaCl medium[J]. *Corrosion Science*, 1997, 39(12): 2053-2065.
- [22] NESTORIDI M, PLETCHER D, WOOD R J K, WANG S, JONES R L, STOKES K R, WILCOCK L. The study of aluminium anodes for high power density Al/air batteries with brine electrolytes[J]. *J Power Sources*, 2008, 178(1): 445-455.

(编辑 何学锋)